

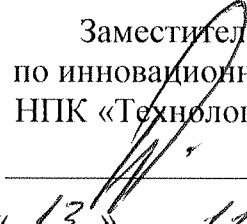
СОГЛАСОВАНО

УТВЕРЖДАЮ

Старший инженер 512 ВП МО РФ

  
А.Р. Чириченко  
« 13 » 11 2019г.

Заместитель директора  
по инновационной деятельности  
НПК «Технологический центр»

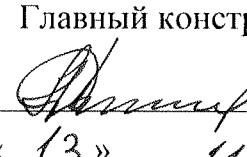
  
В.Г. Снидар  
« 13 » 11 2019г.

МИКРОСХЕМА ИНТЕГРАЛЬНАЯ

5529TP064

СПРАВОЧНЫЙ ЛИСТ

ГАВЛ.431268.017Д1

| Инв. № подл. | Подл. и дата   | Взам. инв. № | Инв. № дубл. | Подп. и дата                                   |
|--------------|--|--------------|--------------|--|
| 123456       |  |              |              | А.Н. Денисов<br>« <u>13</u> » <u>11</u> 2019г. |

**НАЗНАЧЕНИЕ, СХЕМО-ТЕХНОЛОГИЧЕСКОЕ ИСПОЛНЕНИЕ,  
ОБЛАСТЬ ПРИМЕНЕНИЯ.**

Перв. примен.  
**ГАВЛ.431268.017**

Справ. №

Микросхемы интегральные 5529ТР064 представляют собой многофункциональные цифровые матрицы, выполненные по полупроводниковой технологии на МОП-транзисторах.

Микросхемы предназначены для применения в радиоэлектронной аппаратуре специального назначения. Количество элементов в схеме электрической (количество эквивалентных вентилей), не менее - 3940000 (985000).

Конструктивное исполнение для микросхемы 5529ТР064 в корпусе МК 4249.176-2 приведено на рисунке 1.

Схема электрическая структурная микросхемы представлена на рисунке 2. Схема электрическая структурная периферийной ячейки приведена на рисунке 3.

Электрические параметры микросхемы приведены в таблице 1. Предельные и предельно-допустимые значения электрических режимов эксплуатации микросхемы приведены в таблице 2.

Таблицы назначения выводов микросхем приведены в картах заказа соответствующих регистрационных номеров.

Пример обозначения микросхем при заказе (в договоре на поставку):

– микросхема 5529ТР064–Х<sup>1)</sup> – АЕНВ.431260.290ТУ, корпус МК 4249.176-2, карта заказа<sup>2)</sup>;

<sup>1)</sup> Х – Регистрационные номера карт заказа (цифровые или буквенно-цифровые коды), указанные в обозначении полузаильных микросхем на основе БК в соответствии с АЕНВ.431260.290ТУ.

<sup>2)</sup> Децимальные номера карт заказа в соответствии с АЕНВ.431260.290ТУ.

| Инв. № подл. | Подл. и дата | Взам. инв. № | Инв. № дубл. | Подл. и дата |
|--------------|--------------|--------------|--------------|--------------|
| 122/29       | И.А. Ч. 2019 |              |              |              |

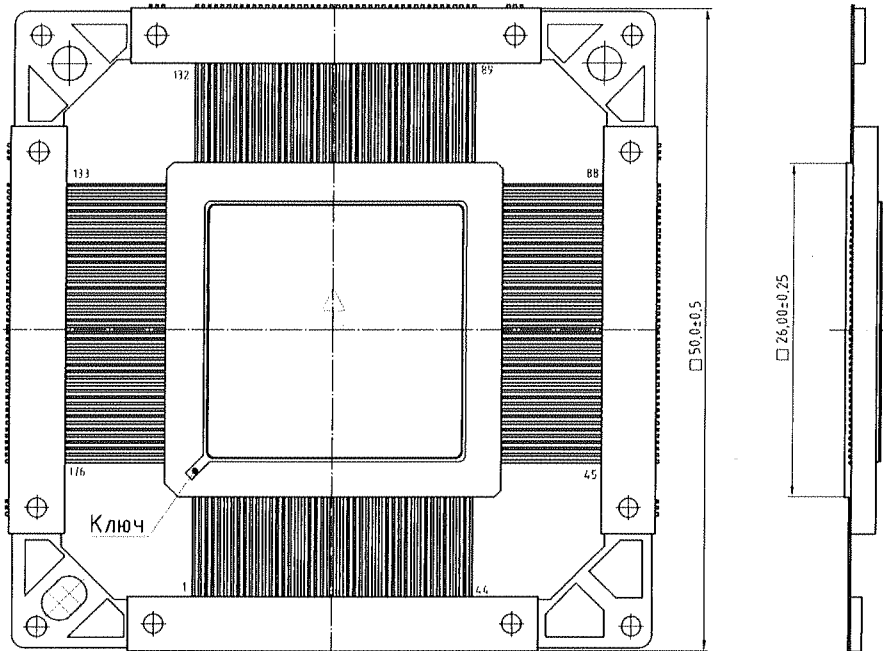
| Изм. Лист | № докум. | Подп. | Дата     |
|-----------|----------|-------|----------|
| Разраб.   | Астахова | Соф   | 13.11.19 |
| Пров.     | Тикашкин | В.А.  | 13.11.19 |
| Н. контр. | Казаков  | Б.Г.  | 06.11.19 |
| Утв.      | Денисов  | О.И.  | 13.11.19 |

**ГАВЛ.431268.017Д1**

Микросхема интегральная  
5529ТР064  
Справочный лист

|      |      |        |
|------|------|--------|
| Лит. | Лист | Листов |
| A    | 2    | 27     |

## КОНСТРУКТИВНОЕ ИСПОЛНЕНИЕ



Знак чувствительности микросхем к СЭ обозначен равносторонним треугольником ( $\Delta$ ). Первый вывод микросхемы находится в левом нижнем углу корпуса. Левый нижний угол определяется по фаске на корпусе. Первым выводом является левый нижний вывод корпуса. Нумерация выводов – против часовой стрелки.

Нумерация выводов показана условно.

Рисунок 1 – Микросхема интегральная 5529TP064

Корпус МК 4249.176-2

Металлокерамический

Материал покрытия выводов: золото

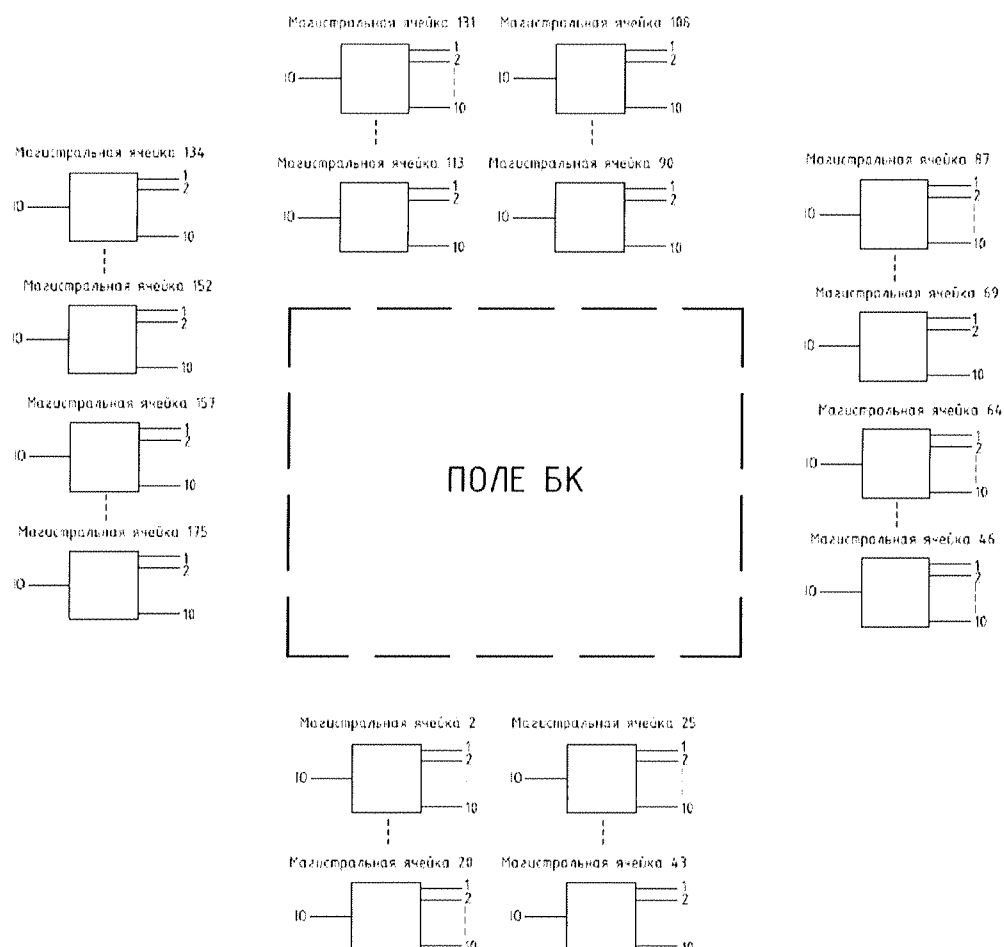
Общее содержание драгметаллов в готовом изделии соответствует данным этикетки ГАВЛ.431268.017ЭТ.

Масса микросхемы не должна превышать 8,0 г.

| Инв. № подл.      | Подп. и дата | Взам. инв. № | Инв. № дубл. | Подп. и дата |
|-------------------|--------------|--------------|--------------|--------------|
| ГАВЛ.431268.017Д1 | 17.01.2020   |              |              |              |

| Изм. | Лист | № докум. | Подп. | Дата | Лист              | 3 |
|------|------|----------|-------|------|-------------------|---|
|      |      |          |       |      | ГАВЛ.431268.017Д1 |   |

## ЭЛЕКТРИЧЕСКАЯ СХЕМА



1. Нумерация выводов ячеек приведена условно. Обозначения выводов приведены в соответствующей регистрационному номеру карте заказа.
2. Нумерация ячеек поля соответствует номеру столбца ячеек в поле микросхемы и порядковому номеру в столбце.
3. Магистральные ячейки 1, 22, 23, 44, 66, 67, 89, 110, 111, 132, 154, 155(на схеме не показаны) соответствует контакту «Земля».
4. Магистральные ячейки 21, 24, 45, 65, 68, 88, 109, 112, 133, 153, 156, 176 (на схеме не показаны) соответствует контакту «Питание»

Рисунок 2 - Схема электрическая структурная микросхем 5529TP064

| Инв. № подл. | Подп. и дата | Взам. инв. № | Инв. № дубл. | Подп. и дата |
|--------------|--------------|--------------|--------------|--------------|
| 1779         | Дж. А. О. д. |              |              |              |

| Изм. | Лист | № докум. | Подп. | Дата | ГАВЛ.431268.017Д1 | Лист |
|------|------|----------|-------|------|-------------------|------|
|      |      |          |       |      |                   | 4    |

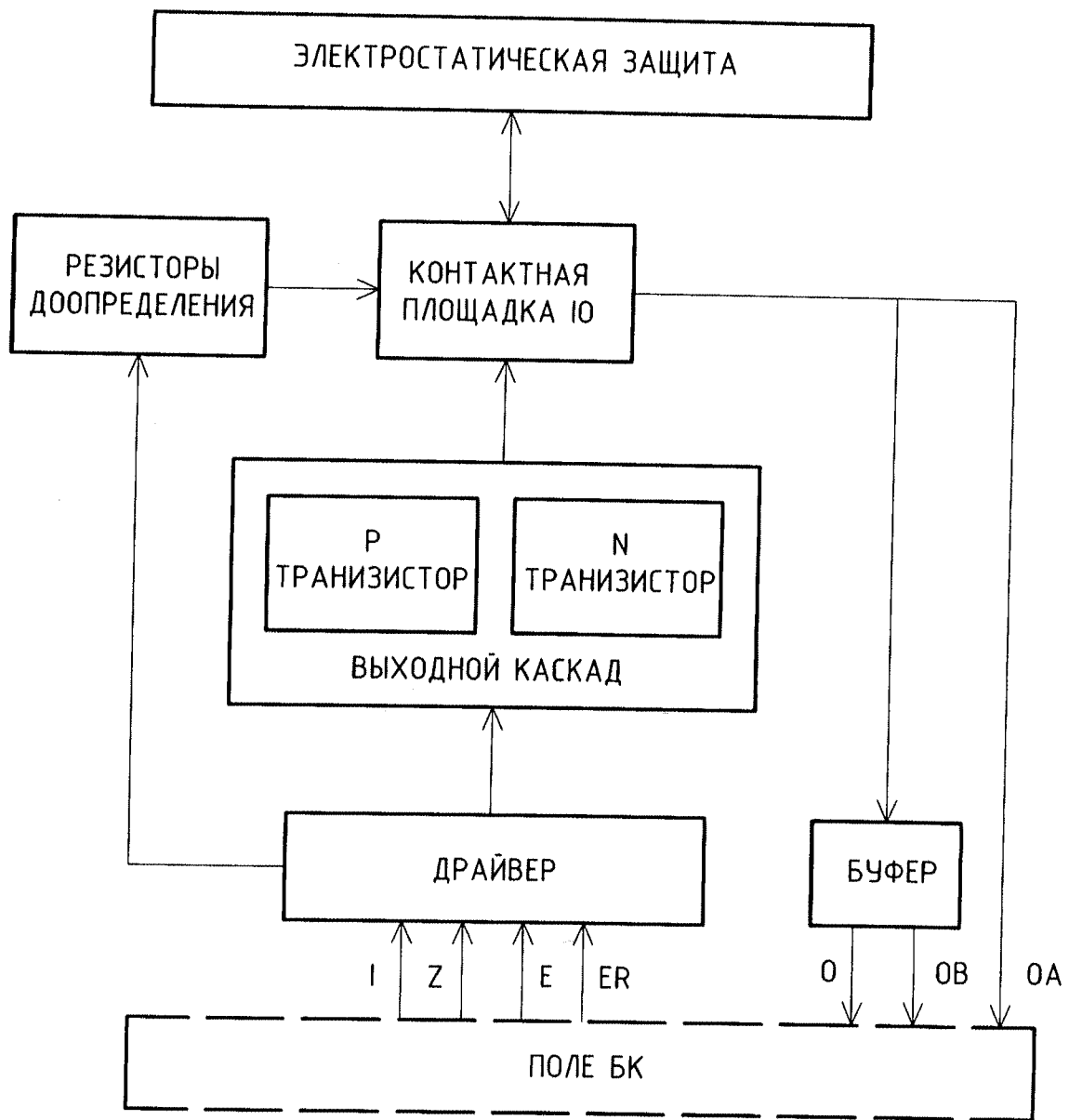


Рисунок 3 – Схема электрическая структурная периферийной ячейки

| Инв. № подл. | Подп. и дата       | Взам. инв. № | Инв. № дубл. | Подп. и дата |
|--------------|--------------------|--------------|--------------|--------------|
| 1779         | Дж. Ильин 20.07.20 |              |              |              |

ГАВЛ.431268.017Д1

Лист

# ДОПУСТИМЫЕ ВОЗДЕЙСТВУЮЩИЕ ФАКТОРЫ ПРИ ЭКСПЛУАТАЦИИ

## Механические факторы

### 1 Синусоидальная вибрация

Диапазон частот, Гц 1 – 5000

Амплитуда ускорения, м/с<sup>2</sup> (g) 400 (40)

### 2 Удары одиночного действия в любом направлении

Амплитуда пикового ударного ускорения, м/с<sup>2</sup> (g) 15000 (1500)

Длительность действия ударного ускорения, мс 0,1 – 2,0

### 3 Удары многократного действия в любом направлении

Амплитуда пикового ударного ускорения, мс (g) 1500 (150)

Длительность действия ударного ускорения, мс 1–5

### 4 Линейное ускорение в любом направлении

Амплитуда линейного ускорения, м/с<sup>2</sup> (g) 5000 (500)

### 5 Акустический шум

Диапазон частот, Гц 50 – 10000

### Уровень звукового давления

(относительно 0,00002 Па), дБ 170

## Климатические факторы

### 1 Атмосферное пониженное рабочее давление, Па

(мм рт. ст.)  $1,3 \times 10^{-4} (10^{-6})$

### 2 Повышенное рабочее давление, кПа(мм рт. ст.)

294(2205)

### 3 Повышенная температура среды:

рабочая, °C +85

предельная, °C +125

### 4 Пониженная температура среды:

рабочая, °C минус 60

предельная, °C минус 60

### 5 Смена температур:

от пониженной предельной температуры среды, °C минус 60

до повышенной предельной температуры среды, °C +125

### 6 Повышенная относительная

влажность при 35°C, % 98\*

Вид исполнения по ГОСТ РВ 20.39.414.1

| Инв. № подл. | Подп. и дата | Взам. инв. № | Инв. № дубл. | Подп. и дата |
|--------------|--------------|--------------|--------------|--------------|
| 1377         | Дж. М. А. А. |              |              |              |

| Изм. | Лист | № докум. | Подп. | Дата | Лист |
|------|------|----------|-------|------|------|
|      |      |          |       |      | 6    |

ГАВЛ.431268.017Д1

|  |    |
|--|----|
| 7 Атмосферные конденсированные осадки (роса, иней)   | *  |
| 8 Соляной (морской) туман  | *  |
| 9 Плесневые грибы  |    |
| 10 Статическая пыль  | ** |
| 11 Контрольные среды (среды заполнения),<br>объемная доля компонентов контрольной среды, % |    |
| гелиево-воздушная  | 90 |
| аргоно- воздушная  | 90 |
| аргоно- азотная  | 90 |

\*Соответствие микросхем данному требованию обеспечивается при условии их многослойного лакового покрытия в составе аппаратуры.

\*\*Требования по устойчивости к воздействию статической пыли не предъявляются.

|                |                   |              |              |              |
|----------------|-------------------|--------------|--------------|--------------|
| Инв. № подл.   | Подп. и дата      | Взам. инв. № | Инв. № дубл. | Подп. и дата |
| <i>Гагарин</i> | <i>20.01.2010</i> |              |              |              |

|      |      |          |       |      |
|------|------|----------|-------|------|
| Изм. | Лист | № докум. | Подп. | Дата |
|      |      |          |       |      |

ГАВЛ.431268.017Д1

Лист

## ОСНОВНЫЕ ХАРАКТЕРИСТИКИ

Диапазон напряжения питания  $U_{CC}$  микросхем должно быть от 2,70 В до 3,63 В.

### ОСНОВНЫЕ ЭЛЕКТРИЧЕСКИЕ ПАРАМЕТРЫ

Таблица 1 – Электрические параметры микросхем при приёмке и поставке

| Наименование параметра, обозначение единицы физической величины, режим измерения  | Буквенное обозначение параметра | Норма параметра |  | Температура среды, °C |
|---|---------------------------------|-----------------|--|-----------------------|
|   |                                 | не менее        | не более                                 |                       |
| 1 Выходное напряжение низкого уровня, В<br>при $U_{CC}=2,7$ В, $I_{OL}$ от 1 до 12,0 мА   | $U_{OL}$                        | -               | 0,3                                      | +25±10<br>-60<br>+85  |
| 2 Выходное напряжение высокого уровня, В<br>при $U_{CC}=2,7$ В, $I_{OH}$ от 1 до 12,0 мА  | $U_{OH}$                        | $U_{CC}-0,3$    | -  | +25±10<br>-60<br>+85  |
| 3 Ток потребления статический, мА<br>при $U_{CC}=3,63$ В, $U_{IH}=U_{CC}$ , $U_{IL}=0$ В  | $I_{CC}$                        | -               | 10,0 <sup>2)</sup><br>30,0 <sup>2)</sup> | +25±10<br>-60<br>+85  |
| 4 Токи утечки низкого и высокого уровней на входе, мкА<br>при $U_{CC}=3,63$ В, $U_{IH}=U_{CC}$ , $U_{IL}=0$ В   | $I_{ILL}, I_{ILH}$              | -1,0<br>-3,0    | 1,0<br>3,0                               | +25±10<br>-60<br>+85  |
| 5 Выходной ток низкого и высокого уровней в состоянии «Выключено» на выводах выход (вход/выход), мкА<br>при $U_{CC}=3,63$ В, $U_{OZH}(U_{IOZH})=U_{CC}$ , $U_{OZL}(U_{IOZL})=0$ В | $I_{OZL}, I_{OZH}$              | -1,0<br>-3,0    | 1,0<br>3,0                               | +25±10<br>-60<br>+85  |
| 6 Ток доопределения внешнего вывода до низкого уровня, мА<br>при $U_{CC}=3,63$ В, $U_{IH}=U_{CC}$ , $U_{IL}=0$ В  | $I_{RL}$                        | 0,005           | 2,0                                      | +25±10<br>-60<br>+85  |
| 7 Ток доопределения внешнего вывода до высокого уровня, мА<br>при $U_{CC}=3,63$ В, $U_{IH}=U_{CC}$ , $U_{IL}=0$ В   | $I_{RH}$                        | 0,005           | 2,0                                      | +25±10<br>-60<br>+85  |

|              |              |              |        |              |
|--------------|--------------|--------------|--------|--------------|
| Инв. № подл. | Подп. и дата | Взам. инв. № | Инв. № | Подп. и дата |
| 1779         | Д. А. С. А.  |              |        |              |

|      |      |          |       |      |                   |      |
|------|------|----------|-------|------|-------------------|------|
| Изм. | Лист | № докум. | Подп. | Дата | ГАВЛ.431268.017Д1 | Лист |
|      |      |          |       |      |                   | 8    |

Окончание таблицы 1

| Наименование параметра, обозначение единицы физической величины, режим измерения      | Буквенное обозначение параметра | Норма параметра |          | Температура среды, °C |
|---|---------------------------------|-----------------|----------|-----------------------|
|   |                                 | не менее        | не более |                       |
| 8 Время задержки на вентиль <sup>3)</sup> , пс при $U_{CC}=3,63$ В, $C_L \leq 150$ пФ | $t_{DB}$                        | -               | 60,0     | +25±10                |
|   |                                 |                 | 100,0    | -60<br>+85            |
| 9 Входная ёмкость, пФ   | $C_I$                           | -               | 7,0      | +25±10                |
|   |                                 |                 | 10,0     | -60<br>+85            |
| 10 Выходная ёмкость, пФ   | $C_O$                           | -               | 7,0      | +25±10                |
|   |                                 |                 | 10,0     | -60<br>+85            |
| 11 Ёмкость входа/выхода, пФ   | $C_{I/O}$                       | -               | 7,0      | +25±10                |
|   |                                 |                 | 10,0     | -60<br>+85            |

<sup>1)</sup> Погрешность задания температуры составляет ± 3 °C.

<sup>2)</sup> Значения могут быть уточнены в карте заказа.

<sup>3)</sup> В карте заказа могут устанавливаться другие динамические параметры с указанием метода контроля.

### ПРЕДЕЛЬНЫЕ ЗНАЧЕНИЯ РЕЖИМОВ ЭКСПЛУАТАЦИИ

Таблица 2 – Предельно-допустимые и предельные электрические режимы эксплуатации микросхем

| Наименование параметра, обозначение единицы физической величины, режим измерения | Буквенное обозначение параметра | Предельно-допустимый режим |          | Предельный режим |                                |
|--|---------------------------------|----------------------------|----------|------------------|--------------------------------|
|  |                                 | не менее                   | не более | не менее         | не более                       |
| 1 Напряжение питания, В  | $U_{CC}$                        | 2,7                        | 3,63     | -0,4             | 4,0                            |
| 2 Напряжение, прикладываемое к выводу закрытой микросхемы, В                     | $U_{OZ}$                        | 0,0                        | $U_{CC}$ | -0,4             | $U_{CC}+0,4$ , но не более 4,0 |
| 3 Входное напряжение низкого уровня, В   | $U_{IL}$                        | 0,0                        | 0,4      | -0,4             | -                              |
| 4 Входное напряжение высокого уровня, В  | $U_{IH}$                        | ( $U_{CC}-0,4$ )           | $U_{CC}$ | -                | $U_{CC}+0,4$ , но не более 4,0 |
| 5 Выходной ток низкого уровня, мА  | $I_{OL}$                        | -                          | 12,0     | -                | 24,0                           |

|              |              |              |              |              |                   |
|--------------|--------------|--------------|--------------|--------------|-------------------|
| Изв. № подл. | Подп. и дата | Взам. Изв. № | Изв. № дубл. | Подп. и дата | Лист              |
| 1 Ч229       | Дж. А. А.    |              |              |              |                   |
| Изм.         | Лист         | № докум.     | Подп.        | Дата         | ГАВЛ.431268.017Д1 |

*Окончание таблицы 2*

| Наименование параметра, обозначение единицы физической величины, режим измерения | Буквенное обозначение параметра | Предельно-допустимый режим |          | Предельный режим |          |
|--|---------------------------------|----------------------------|----------|------------------|----------|
|  |                                 | не менее                   | не более | не менее         | не более |
| 6 Выходной ток высокого уровня, мА   | I <sub>OH</sub>                 | -                          | 12,0     | -                | 24,0     |
| 7 Емкость нагрузки, пФ   | C <sub>L</sub>                  | -                          | 150,0    | -                | 250,0    |

### НАДЕЖНОСТЬ

Наработка до отказа в режимах и условиях эксплуатации, допускаемых АЕНВ.431260.290ТУ, должна быть не менее 140 000 ч при температуре окружающей среды не более  $(65 + 5)^\circ\text{C}$  и не менее 200 000 ч в облегченном режиме при  $U_{CC} = 3,0 \text{ В} \pm 5\%$ , выходные токи  $I_{OL}, I_{OH}$  не более 50 % от предельно-допустимый значений, установленных в таблице 2.

Гамма – процентный срок сохраняемости ( $T_{\text{с}\gamma}$ ) микросхем при  $\gamma = 99\%$  при хранении в упаковке изготовителя в отапливаемом хранилище или в хранилище с регулируемыми влажностью и температурой, или в местах хранения микросхем, вмонтированных в защищенную аппаратуру или находящихся в защищенном комплексе ЗИП, должен быть – 25 лет. Требования к показателям безотказности действуют в пределах срока службы  $T_{\text{сл}}$ , устанавливаемого численно равным  $T_{\text{с}\gamma}$ .

|              |              |        |              |              |
|--------------|--------------|--------|--------------|--------------|
| Инв. № подл. | Подл. и дата | Инв. № | Взам. инв. № | Подп. и дата |
| 1449         | Документ     |        |              |              |

|      |      |          |       |      |                   |      |
|------|------|----------|-------|------|-------------------|------|
| Изм. | Лист | № докум. | Подп. | Дата | ГАВЛ.431268.017Д1 | Лист |
|      |      |          |       |      |                   | 10   |

## УКАЗАНИЯ ПО ПРИМЕНЕНИЮ И ЭКСПЛУАТАЦИИ

Порядок подачи и снятия напряжений питания и входных сигналов на микросхемы должен быть следующим:

- при включении на микросхемы сначала подается напряжение питания  $U_{CC}$ , а затем входные напряжения  $U_I$ , или одновременно;
- при выключении напряжение питания  $U_{CC}$  снимается последним или одновременно с входными напряжениями  $U_I$ .

Допускается работа микросхем при ёмкости нагрузки  $C_L$  до 250 пФ. При этом динамические параметры не гарантируются.

Неиспользуемые выводы микросхем допускается подключать к шине общего вывода GND (0 В) или к шине напряжения питания  $U_{CC}$ .

Допустимое значение потенциала СЭ – не более 2000 В при использовании стандартных периферийных ячеек и не более 1000 В при использовании периферийных ячеек без верхнего защитного диода, что указывается в картах заказа.

Нумерацию, обозначение, наименование выводов, дополнительные указания к этапу разработки аппаратуры приводят в картах заказа.

Рекомендуется установку и крепление микросхем на платы проводить в соответствии с рисунком 4. Вид формовки микросхем - в соответствии с рисунком 5.

Микросхемы пригодны для монтажа в аппаратуре операциями пайки по ОСТ 11 073.063 при установке их на некерамические платы. Допустимое количество исправлений дефектов пайки отдельных выводов микросхемы – не более двух.

Способ установки микросхем на платы и их демонтажа должен обеспечивать отсутствие передачи усилий, деформирующих корпус.

Рекомендуется начинать пайку с выводов  $V_{CC}$  и GND (0 В). Пайку остальных выводов разрешается проводить в любой последовательности.

Устанавливать и извлекать микросхемы из контактных приспособлений, а также производить замену микросхем необходимо только при снятии напряжений со всех выводов микросхемы.

В непосредственной близости между выводами  $U_{CC}$  и выводами GND (0 В), указанными в картах заказа, должны быть подключены керамические конденсаторы емкостью не менее 0,3 мкФ и рабочим напряжением не менее 10 В. Необходимое количество и номиналы конденсаторов определяются разработчиком аппаратуры.

| Инв. № подл. | Подл. и дата         | Инв. № | Взам. инв. № | Подл. и дата |
|--------------|----------------------|--------|--------------|--------------|
| 1 ЧПУ        | Л.А. Кот. 20.06.2016 |        |              |              |

| Изм. | Лист | № докум. | Подп. | Дата | ГАВЛ.431268.017Д1 | Лист | 11 |
|------|------|----------|-------|------|-------------------|------|----|
|      |      |          |       |      |                   |      |    |

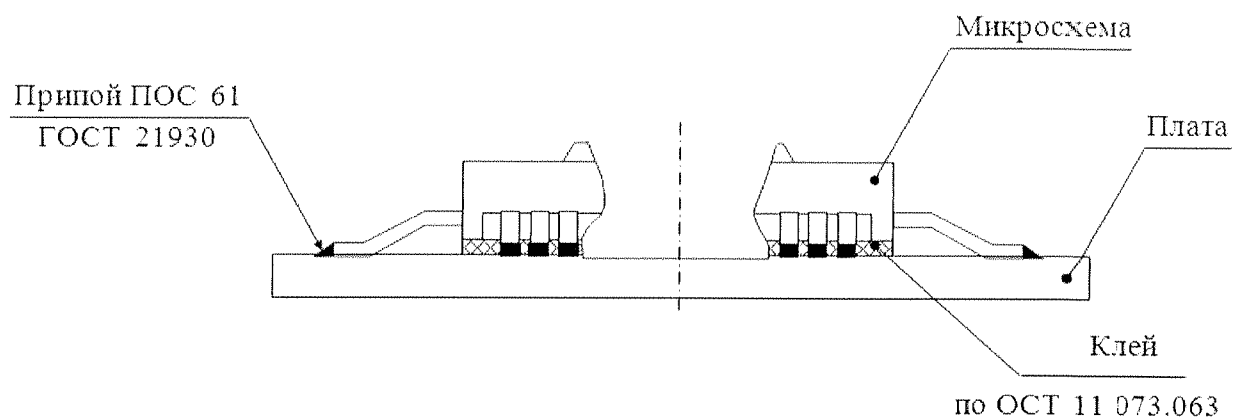


Рисунок 4 – Пример установки и крепления микросхем 5529TP064 на плате

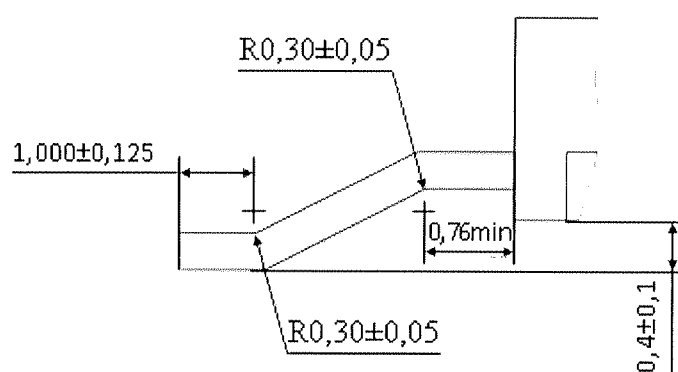
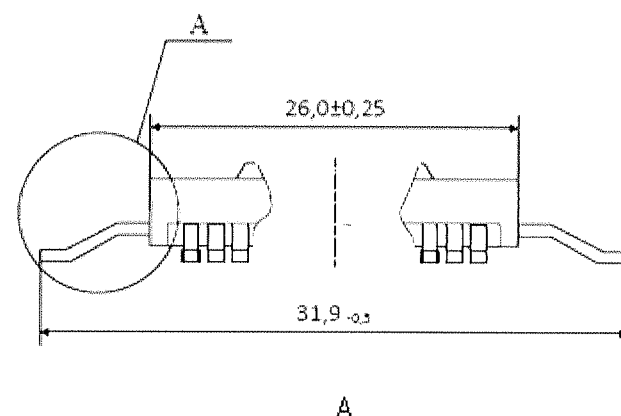


Рисунок 5 – Рекомендуемый вид формовки и обрезки выводов микросхем  
5529TP064

| Инв. № подл. | Подл. и дата  | Взам. инв. № | Инв. № дубл. | Подп. и дата |
|--------------|---------------|--------------|--------------|--------------|
| 1482         | Дж. Ад. Ст. № |              |              |              |

ГАВЛ.431268.017Д1

## ТИПОВЫЕ ХАРАКТЕРИСТИКИ

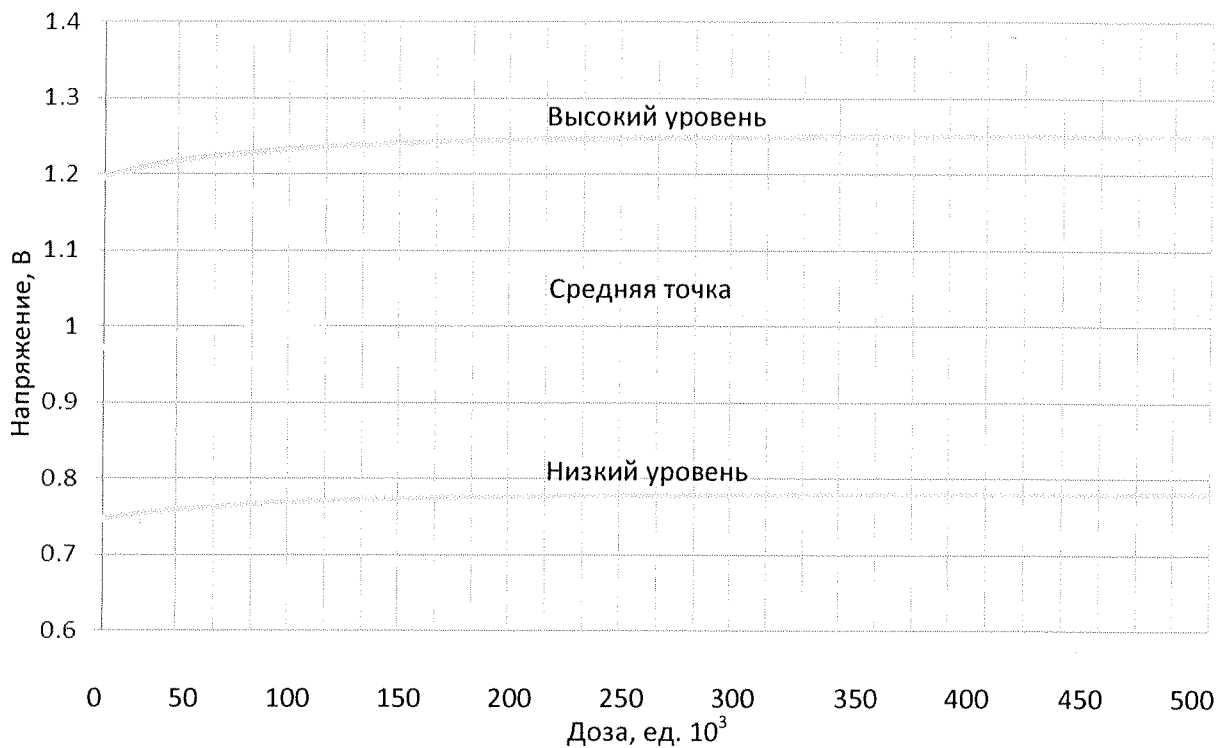


Рисунок 6 – Зависимости уровней выходного сигнала M-LVDS от накопленной дозы при  $V_{CC} = 2,7$  В

| Инв. № подп. | Подп. и дата | Взам. инв. № | Инв. № дубл. | Подп. и дата |
|--------------|--------------|--------------|--------------|--------------|
| ИЧС          | ИЧС          | ИЧС          | ИЧС          | ИЧС          |

| Изм. | Лист | № докум. | Подп. | Дата |
|------|------|----------|-------|------|
|      |      |          |       |      |

ГАВЛ.431268.017Д1

Лист

13

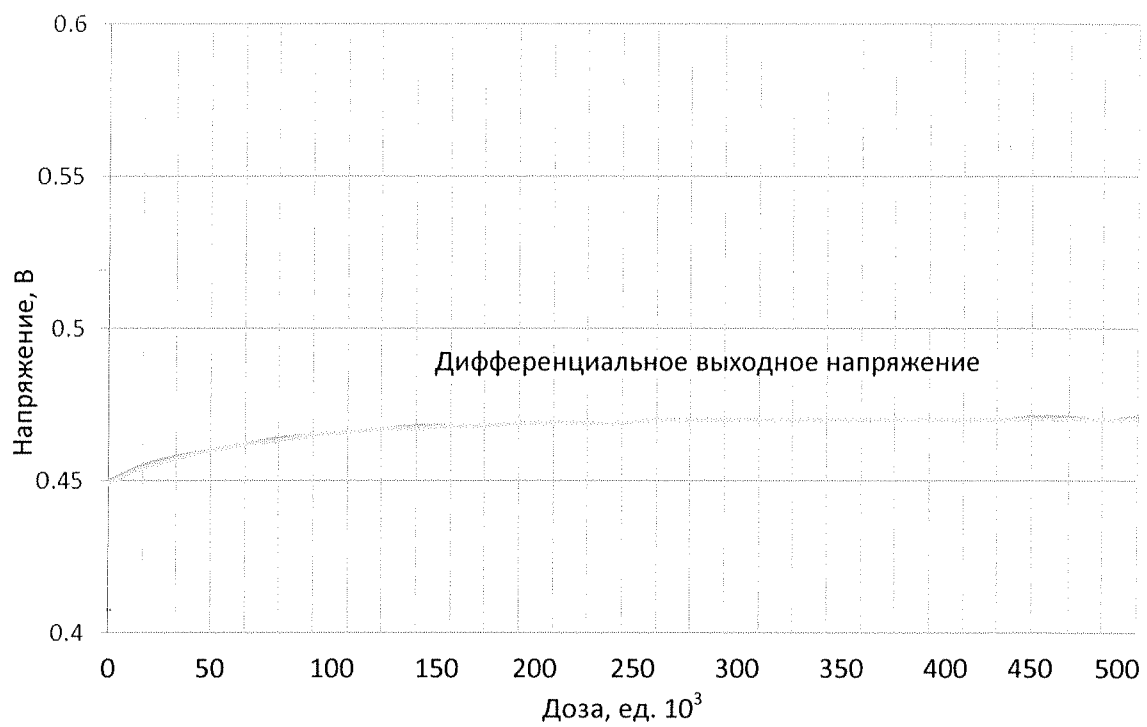


Рисунок 7 – Зависимости дифференциального выходного сигнала М–LVDS от накопленной дозы при  $V_{CC} = 2,7$  В

| Инв. № подл.      | Подп. и дата | Взам. инв. № | Инв. № дубл. | Подп. и дата |
|-------------------|--------------|--------------|--------------|--------------|
| ГАВЛ.431268.017Д1 | 2017.01.05   |              |              |              |

| Изм. | Лист | № докум. | Подп. | Дата |
|------|------|----------|-------|------|
|      |      |          |       |      |

ГАВЛ.431268.017Д1

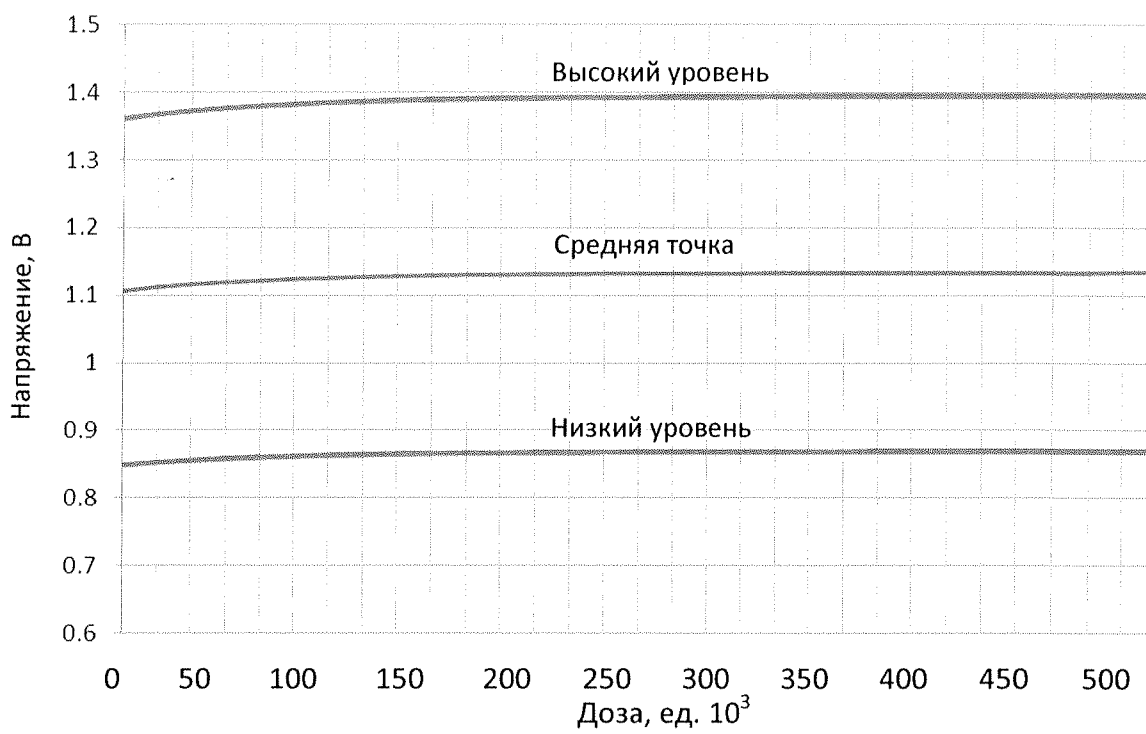


Рисунок 8 – Зависимости уровней выходного сигнала М–LVDS от накопленной дозы при  $V_{CC} = 3,0$  В

| Инв. № подл.      | Подп. и дата | Взам. инв. № | Инв. № дубл. | Подп. и дата |
|-------------------|--------------|--------------|--------------|--------------|
| ГАВЛ.431268.017Д1 | 2016.06.06   |              |              |              |

| Изм. | Лист | № докум. | Подп. | Дата | Лист |
|------|------|----------|-------|------|------|
|      |      |          |       |      | 15   |

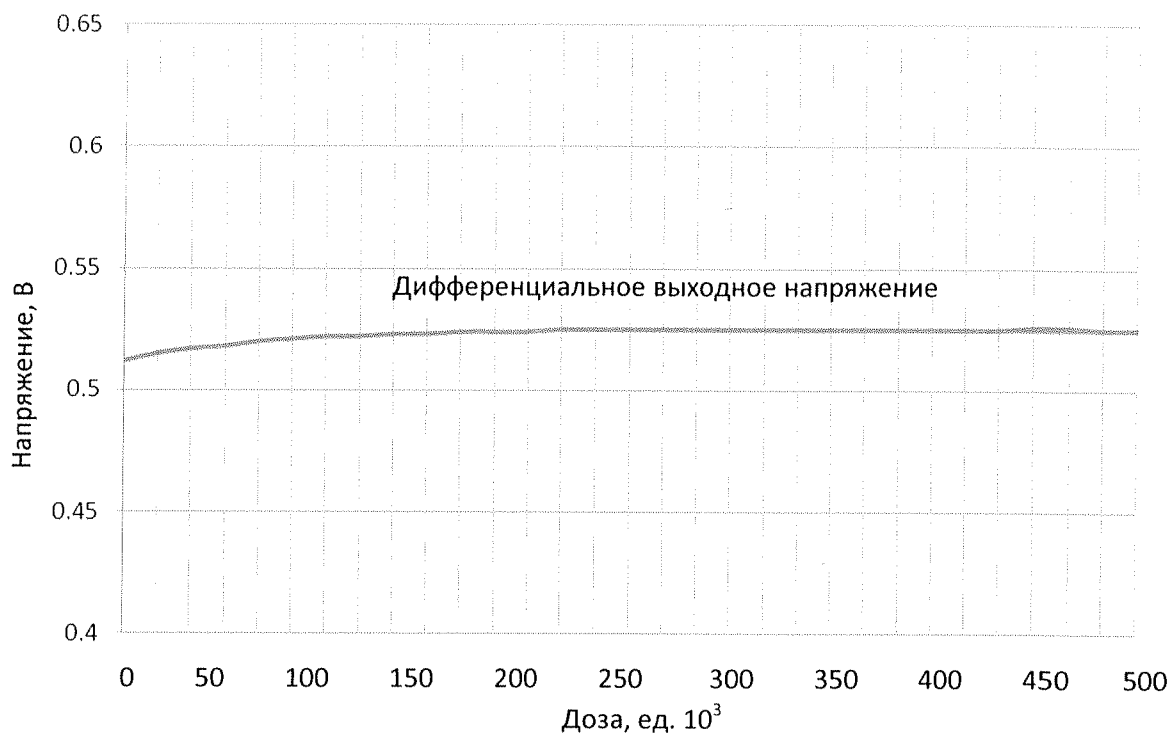


Рисунок 9 – Зависимости дифференциального выходного сигнала М–LVDS от накопленной дозы при  $V_{CC} = 3,0$  В

| Инв. № подл. | Подп. и дата    | Взам. инв. № | Инв. № дубл. | Подп. и дата |
|--------------|-----------------|--------------|--------------|--------------|
| 1739         | Лит. подл. от № |              |              |              |

| Изм. | Лист | № докум. | Подп. | Дата |
|------|------|----------|-------|------|
|      |      |          |       |      |

ГАВЛ.431268.017Д1

Лист  
16

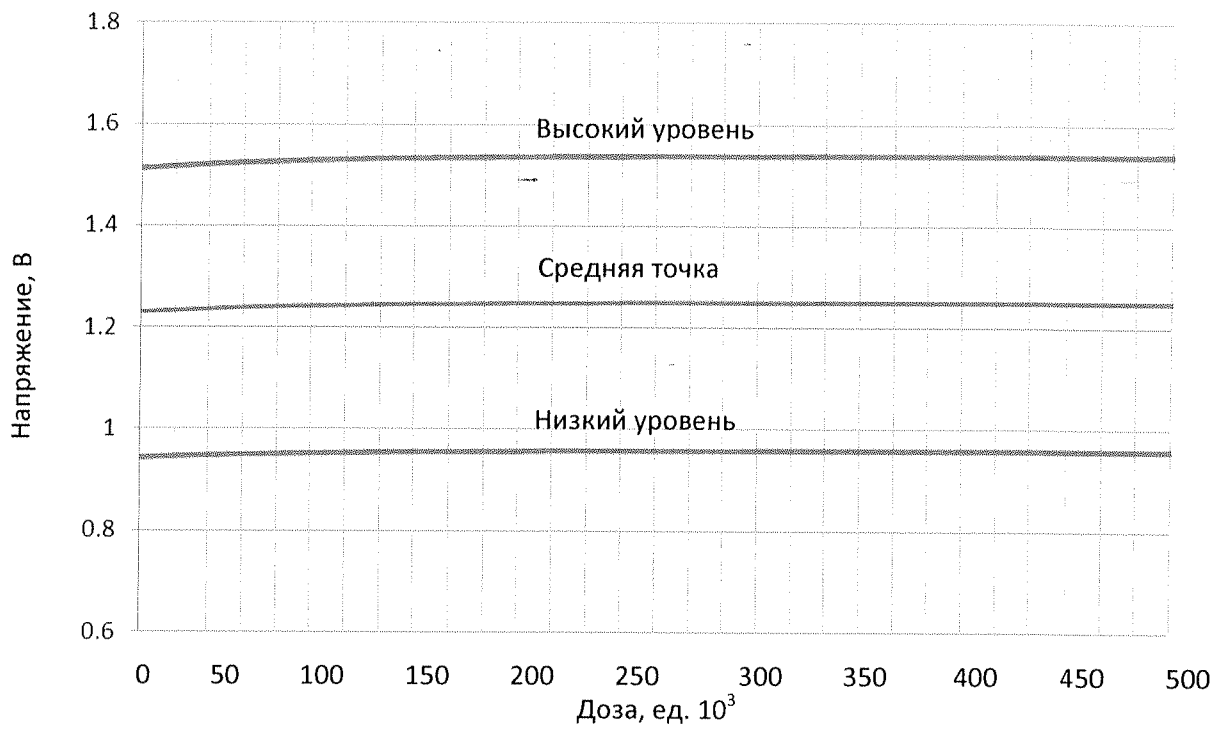


Рисунок 10 – Зависимости уровней выходного сигнала M–LVDS от накопленной дозы при  $V_{CC} = 3,3$  В

| Инв. № подл. | Подп. и дата | Взам. инв. № | Инв. № дубл. | Подп. и дата |
|--------------|--------------|--------------|--------------|--------------|
| 17           | Жуков А.А.   |              |              |              |

| Изм. | Лист | № докум. | Подп. | Дата | ГАВЛ.431268.017Д1 | Лист |
|------|------|----------|-------|------|-------------------|------|
|      |      |          |       |      |                   | 17   |

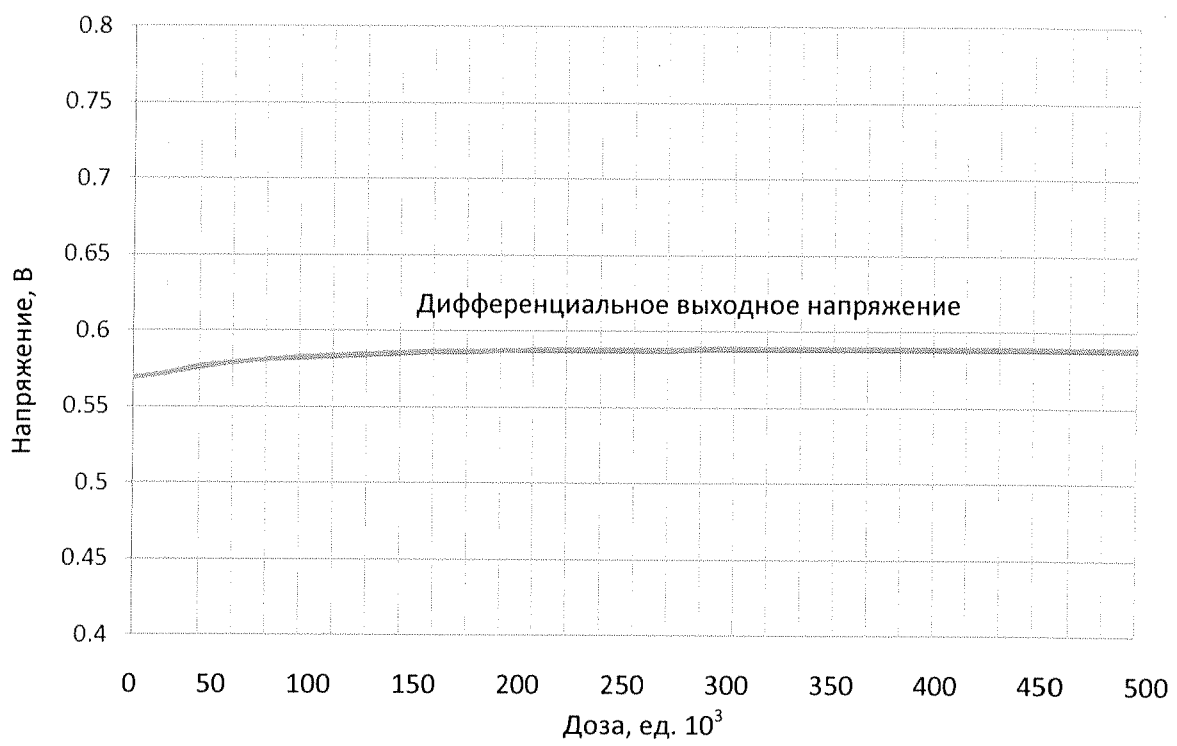


Рисунок 11 – Зависимости дифференциального выходного сигнала М–LVDS от накопленной дозы при  $V_{CC} = 3,3$  В

| Инв. № подл. | Подп. и дата      | Взам. инв. № | Инв. № дубл. | Подп. и дата |
|--------------|-------------------|--------------|--------------|--------------|
| 1289         | Д.А.С. 02.02.2020 |              |              |              |

|      |      |          |       |      |                   |      |
|------|------|----------|-------|------|-------------------|------|
| Изм. | Лист | № докум. | Подп. | Дата | ГАВЛ.431268.017Д1 | Лист |
|      |      |          |       |      |                   | 18   |

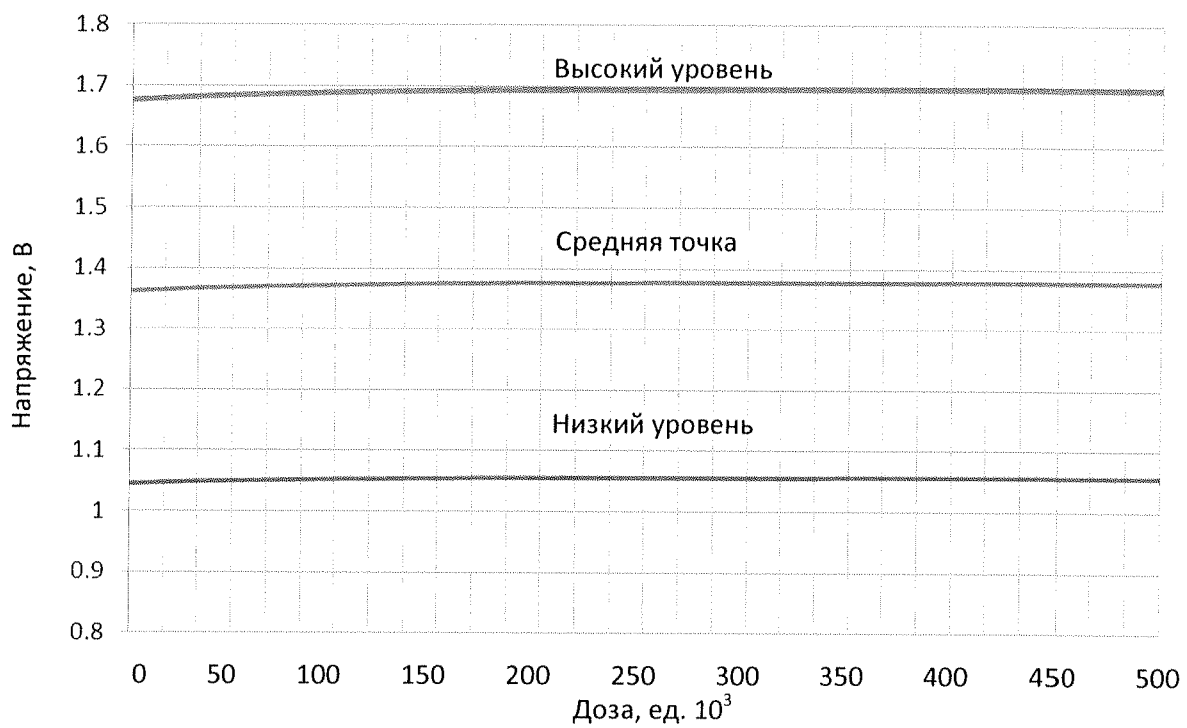


Рисунок 12 – Зависимости уровней выходного сигнала M–LVDS от накопленной дозы при  $V_{CC} = 3,63$  В

| Инв. № подл. | Подп. и дата      | Взам. инв. № | Инв. № дубл. | Подп. и дата |
|--------------|-------------------|--------------|--------------|--------------|
| 1429         | Лит. подл. 21.06. |              |              |              |

| Изм. | Лист | № докум. | Подп. | Дата |
|------|------|----------|-------|------|
|      |      |          |       |      |

ГАВЛ.431268.017Д1

Лист  
19

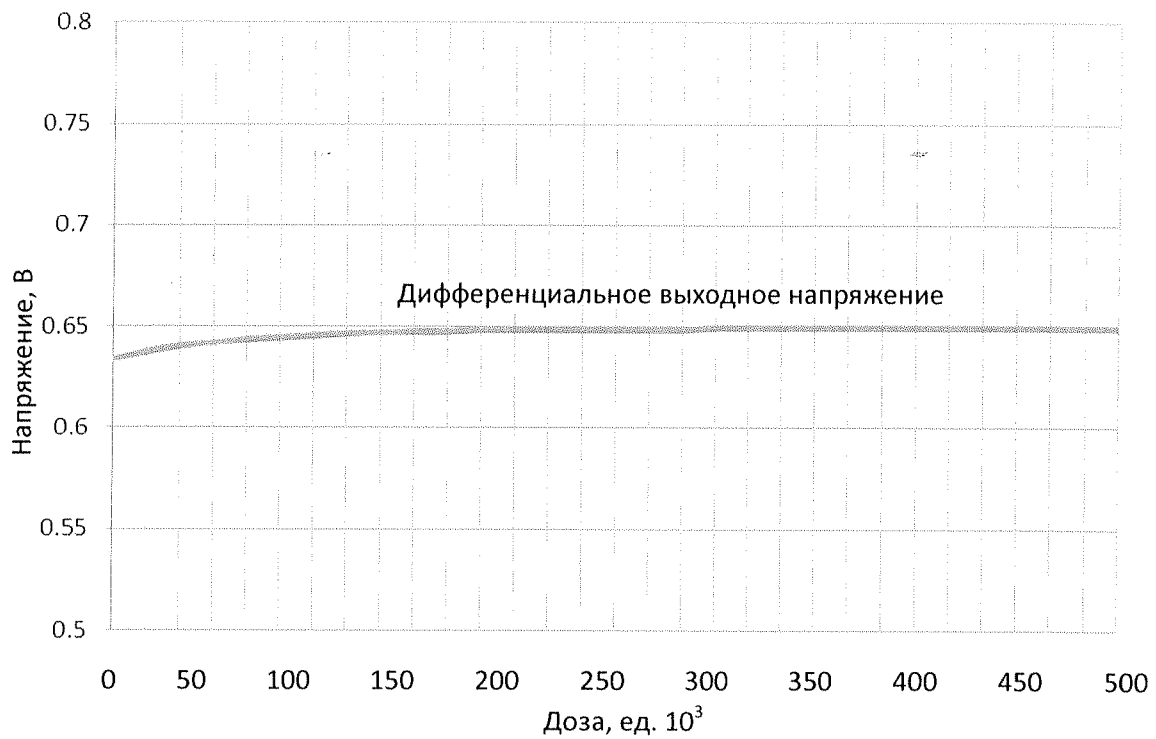


Рисунок 13 – Зависимости дифференциального выходного сигнала М–LVDS от накопленной дозы при  $V_{CC} = 3,63$  В

| Инв. № подл. | Подп. и дата          | Взам. инв. № | Инв. № дубл. | Подп. и дата |
|--------------|-----------------------|--------------|--------------|--------------|
| 13/09        | Дз. за. от 24/09/2017 |              |              |              |

| Изм. | Лист | № докум. | Подп. | Дата |
|------|------|----------|-------|------|
|      |      |          |       |      |

ГАВЛ.431268.017Д1

Лист  
20

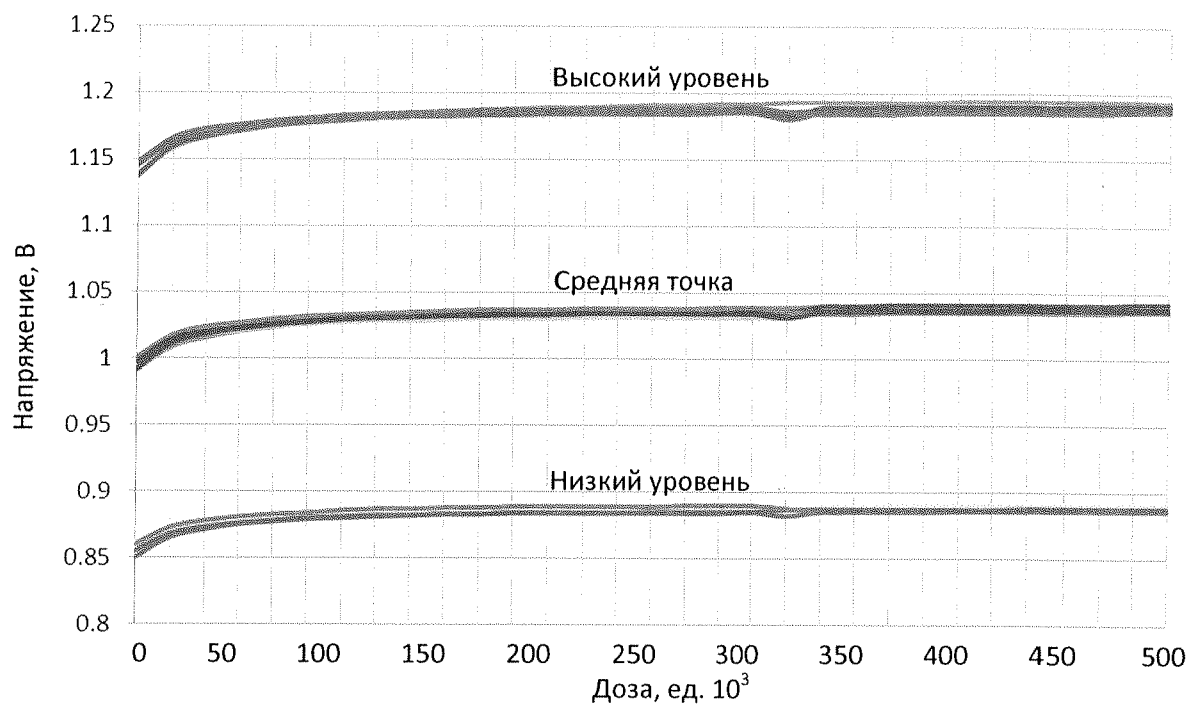


Рисунок 14 – Зависимости уровней выходного сигнала LVDS от накопленной дозы при  $V_{CC} = 2,7$  В

| Инв. № подл. | Подп. и дата | Взам. инв. № | Инв. № дубл. | Подп. и дата |
|--------------|--------------|--------------|--------------|--------------|
| 1469         | Андрей О. А. |              |              |              |

| Изм. | Лист | № докум. | Подп. | Дата | Лист              |
|------|------|----------|-------|------|-------------------|
|      |      |          |       |      | ГАВЛ.431268.017Д1 |

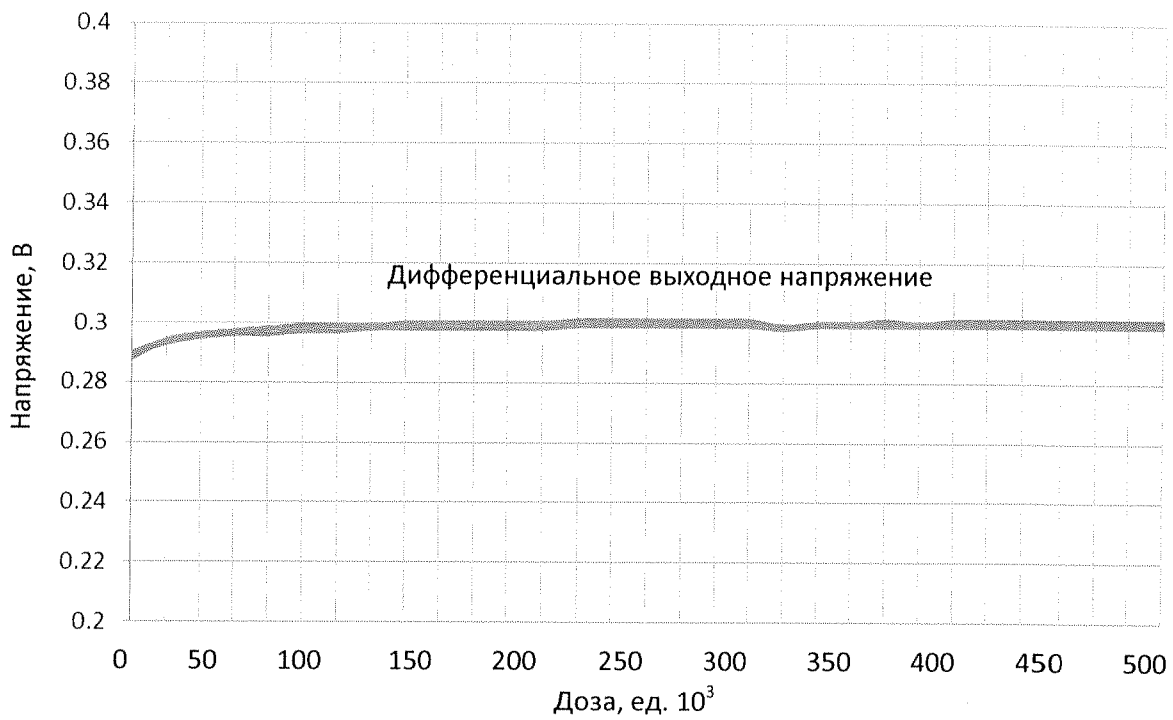


Рисунок 15 – Зависимости дифференциального выходного сигнала LVDS от накопленной дозы при  $V_{CC} = 2,7$  В

| Инв. № подп. | Подп. и дата    | Взам. инв. № | Инв. № дубл. | Подп. и дата |
|--------------|-----------------|--------------|--------------|--------------|
| 1428         | Дат. 20.07.2010 |              |              |              |

| Изм. | Лист | № докум. | Подп. | Дата |
|------|------|----------|-------|------|
|      |      |          |       |      |

ГАВЛ.431268.017Д1

Лист  
22

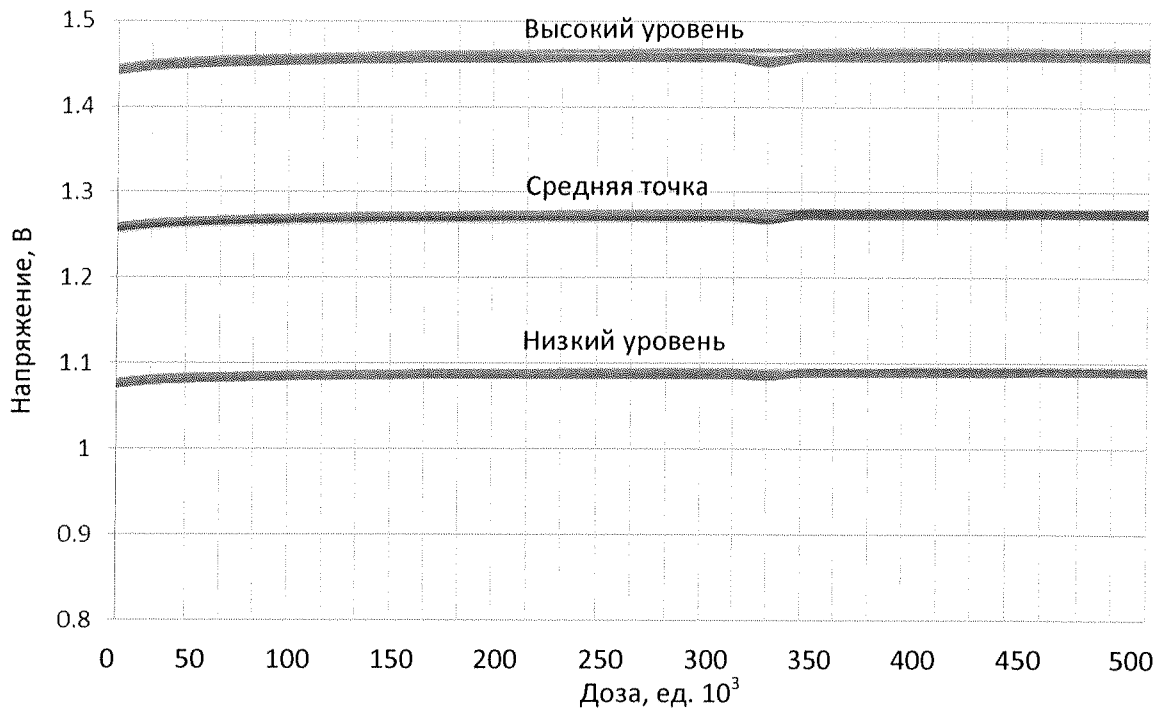


Рисунок 16 – Зависимости уровней выходного сигнала LVDS от накопленной дозы при  $V_{CC} = 3,3$  В

| Инв. № подл. | Подл. и дата | Взам. инв. № | Инв. № дубл. | Подл. и дата |
|--------------|--------------|--------------|--------------|--------------|
| 1789         | Лит. А       |              |              |              |

| Изм. | Лист | № докум. | Подп. | Дата |
|------|------|----------|-------|------|
|      |      |          |       |      |

ГАВЛ.431268.017Д1

Лист

23

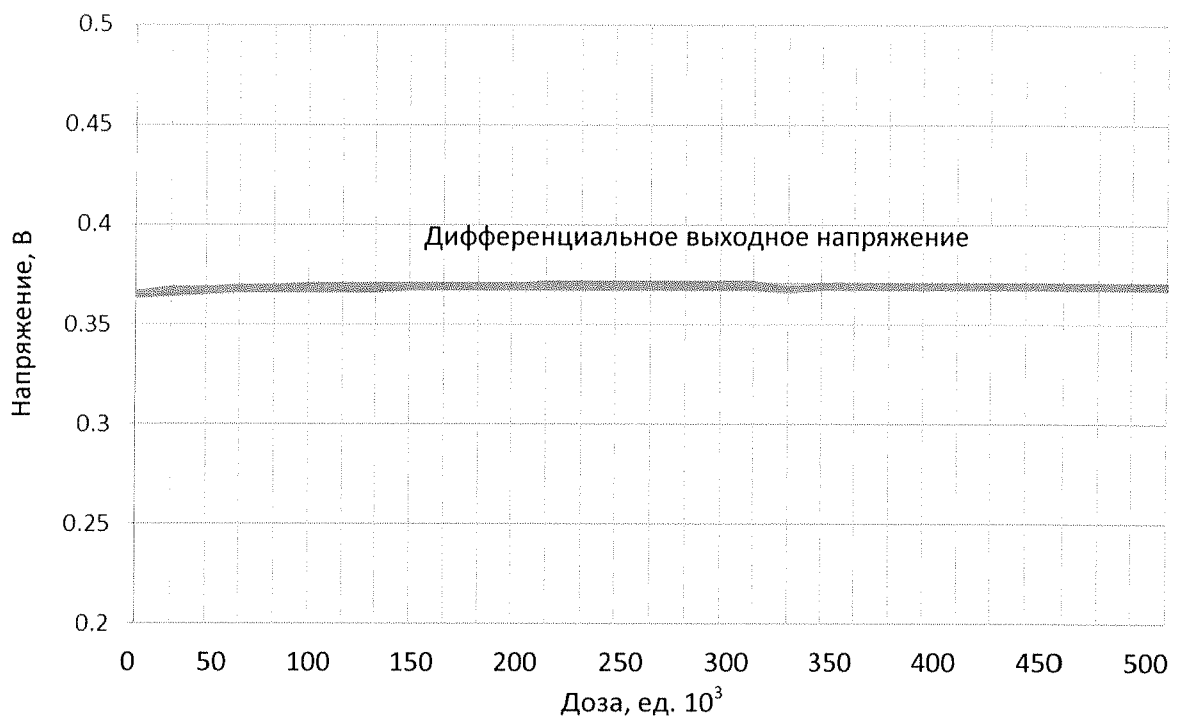


Рисунок 17 – Зависимости дифференциального выходного сигнала LVDS от накопленной дозы при  $V_{CC} = 3,3$  В

| Инв. № подл. | Подп. и дата | Взам. инв. № | Инв. № дубл. | Подп. и дата |
|--------------|--------------|--------------|--------------|--------------|
| 1709         | 2017.07.20   |              |              |              |

| Изм. | Лист | № докум. | Подп. | Дата |
|------|------|----------|-------|------|
|      |      |          |       |      |

ГАВЛ.431268.017Д1

Лист  
24

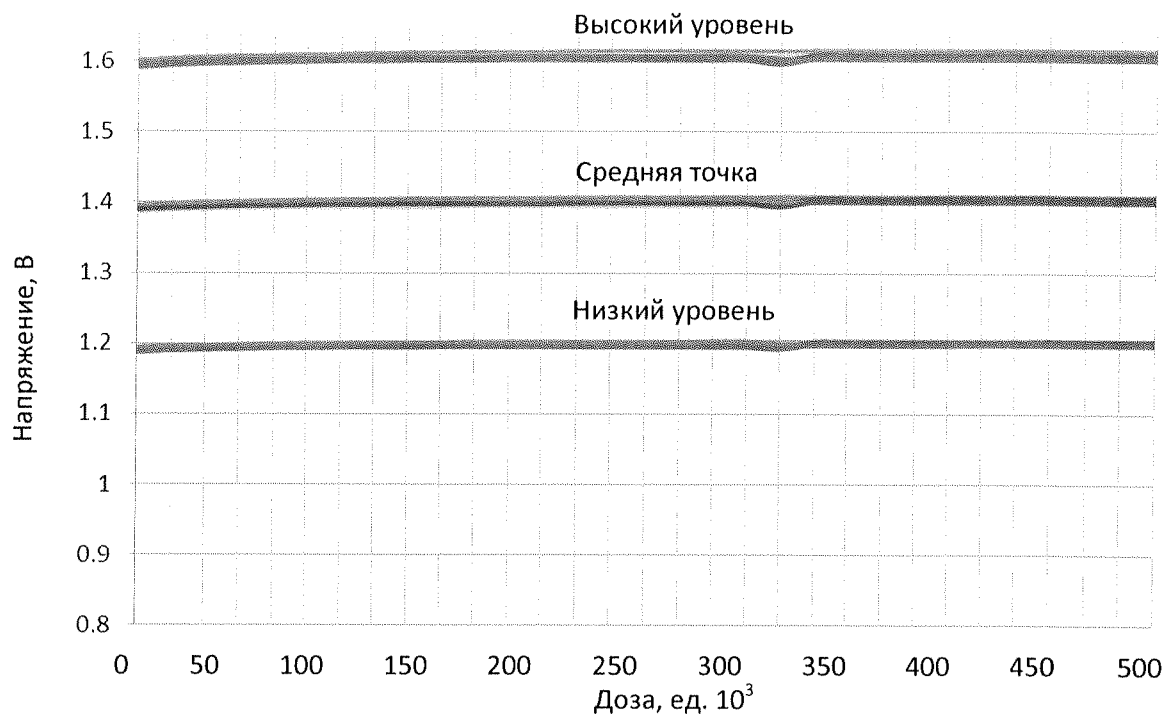


Рисунок 18 – Зависимости уровней выходного сигнала LVDS от накопленной дозы при  $V_{CC} = 3,63$  В

| Инв. № подл. | Подп. и дата | Взам. инв. № | Инв. № дубл. | Подп. и дата |
|--------------|--------------|--------------|--------------|--------------|
| ИЧД          | А.Г.Д. И.И.  |              |              |              |

| Изм. | Лист | № докум. | Подп. | Дата |
|------|------|----------|-------|------|
|      |      |          |       |      |

ГАВЛ.431268.017Д1

Лист  
25

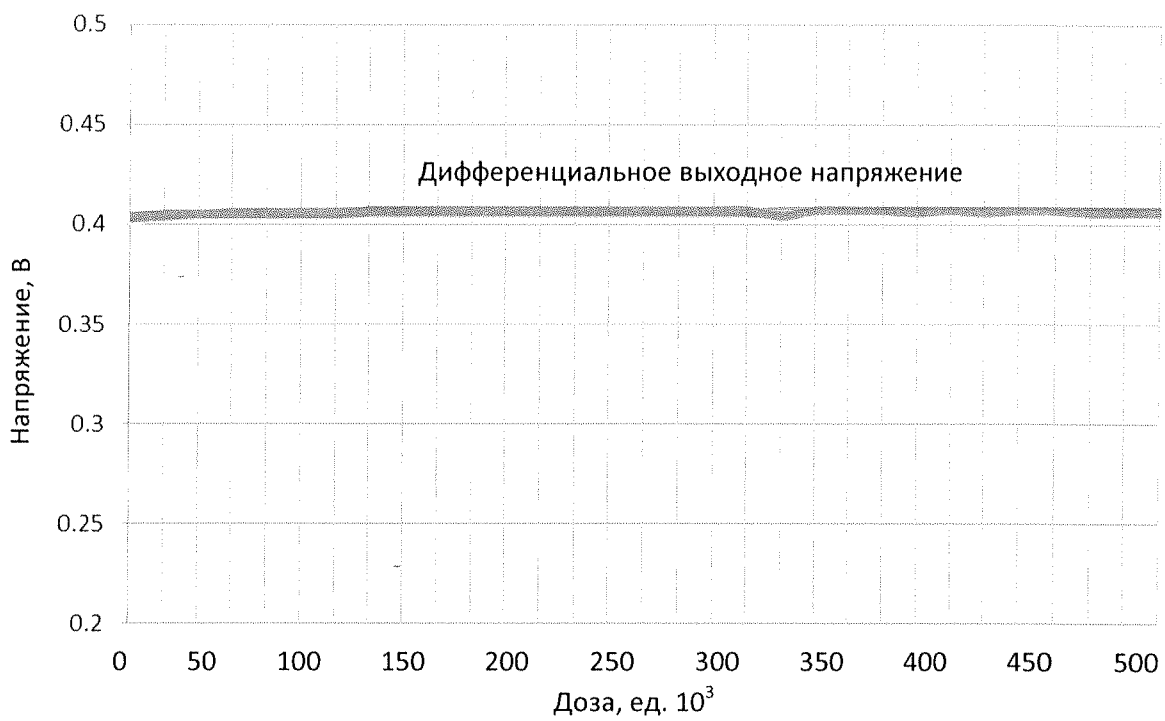


Рисунок 19 – Зависимости дифференциального выходного сигнала LVDS от накопленной дозы при  $V_{CC} = 3,63$  В

| Инв. № подп. | Подп. и дата    | Взам. инв. № | Инв. № дубл. | Подп. и дата |
|--------------|-----------------|--------------|--------------|--------------|
| Изм. 1479    | Лист 21.01.2016 |              |              |              |

| Изм. | Лист | № докум. | Подп. | Дата |
|------|------|----------|-------|------|
|      |      |          |       |      |

ГАВЛ.431268.017Д1

Лист  
26

## Лист регистрации изменений

| Изм. | Номера листов (страниц) |            |       |                | Всего листов (страниц) | № документа | Входящий № сопроводительного документа и дата | Подпись | Дата |
|------|-------------------------|------------|-------|----------------|------------------------|-------------|---|---------|------|
|      | измененных              | замененных | новых | аннулированных |                        |             |   |         |      |
|      |                         |            |       |                |                        |             |   |         |      |

| Инв. № подл.                                   | Подп. и дата | Взам. инв. № | Инв. № дубл. | Подп. и дата |
|--|--------------|--------------|--------------|--------------|
| Инв. № подл.<br>ГАВЛ.431268.017Д1<br>Изм. Лист | Подп. и дата | Взам. инв. № | Инв. № дубл. | Подп. и дата |

| Изм. | Лист | № докум. | Подп. | Дата |
|------|------|----------|-------|------|
|      |      |          |       |      |

ГАВЛ.431268.017Д1

Лист

27